

Bestimmung des Azimuts für die Grundlinie bei Vermessungen der Stadt Machatsch-Kala nach der Näherungsmethode von Professor Th. N. Krassovsky

Autor(en): **Smirnoff, K.N.**

Objektyp: **Article**

Zeitschrift: **Schweizerische Zeitschrift für Vermessungswesen und Kulturtechnik = Revue technique suisse des mensurations et améliorations foncières**

Band (Jahr): **29 (1931)**

Heft 11

PDF erstellt am: **22.07.2024**

Persistenter Link: <https://doi.org/10.5169/seals-192708>

Nutzungsbedingungen

Die ETH-Bibliothek ist Anbieterin der digitalisierten Zeitschriften. Sie besitzt keine Urheberrechte an den Inhalten der Zeitschriften. Die Rechte liegen in der Regel bei den Herausgebern. Die auf der Plattform e-periodica veröffentlichten Dokumente stehen für nicht-kommerzielle Zwecke in Lehre und Forschung sowie für die private Nutzung frei zur Verfügung. Einzelne Dateien oder Ausdrucke aus diesem Angebot können zusammen mit diesen Nutzungsbedingungen und den korrekten Herkunftsbezeichnungen weitergegeben werden. Das Veröffentlichen von Bildern in Print- und Online-Publikationen ist nur mit vorheriger Genehmigung der Rechteinhaber erlaubt. Die systematische Speicherung von Teilen des elektronischen Angebots auf anderen Servern bedarf ebenfalls des schriftlichen Einverständnisses der Rechteinhaber.

Haftungsausschluss

Alle Angaben erfolgen ohne Gewähr für Vollständigkeit oder Richtigkeit. Es wird keine Haftung übernommen für Schäden durch die Verwendung von Informationen aus diesem Online-Angebot oder durch das Fehlen von Informationen. Dies gilt auch für Inhalte Dritter, die über dieses Angebot zugänglich sind.

SCHWEIZERISCHE Zeitschrift für Vermessungswesen und Kulturtechnik

ORGAN DES SCHWEIZ. GEOMETERVEREINS

REVUE TECHNIQUE SUISSE DES MENSURATIONS ET AMÉLIORATIONS FONCIÈRES

ORGANE DE LA SOCIÉTÉ SUISSE DES GÉOMÈTRES

Redaktion: Dr. h. c. F. BAESCHLIN, Professor, Zollikon (Zürich)

Ständiger Mitarbeiter für Kulturtechnik: Dr. Ing. H. FLUCK, Dipl. Kulturingenieur, Neuchâtel Poudrières, 19. — Redaktionsschluß: Am 1. jeden Monats.

□ Expedition, Inseraten- und Abonnements-Annahme: □
BUCHDRUCKEREI WINTERTHUR VORM. G. BINKERT, WINTERTHUR

Erscheinend am 2. Dienstag jeden Monats	No. 11 des XXIX. Jahrganges der „Schweiz. Geometerzeitung“.	Abonnemente: Schweiz . . . Fr. 12.— jährlich Ausland . . . „ 15.—
Inserate: 50 Cts. per 1spaltige Nonp.-Zeile	10. November 1931	Unentgeltlich für Mitglieder des Schweiz. Geometervereins

Bestimmung des Azimuts für die Grundlinie bei Vermessungen der Stadt Machatsch-Kala nach der Näherungsmethode von Professor Th. N. Krassovsky.

Ing. K. N. Smirnoff, Moskau, Chef der Instrumentenabteilung des
Instituts für Geodäsie und Kartographie.

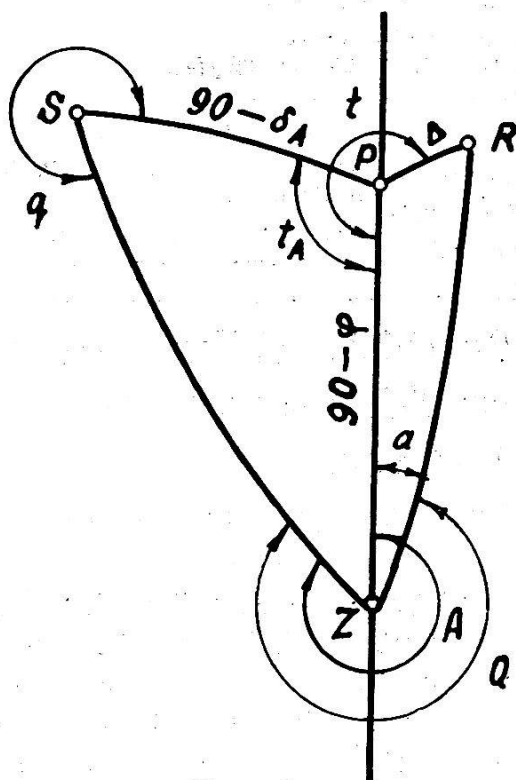
Die Azimutbestimmung nach dem Verfahren von Prof. Th. N. Krassovsky* wird auf eine Messung des Horizontalwinkels zwischen dem Polarstern und einem Nebenstern zurückgeführt. Der Grundgedanke des Verfahrens besteht darin, daß für einen gegebenen Ort der Erdoberfläche jedem bestimmten Zeitmoment eine bestimmte Lage der Sterne bezüglich eines beliebigen Vertikalkreises der Himmelsphäre entspricht. Demnach gehört an beliebigem Bodenpunkt zu einem gewissen Wert des Horizontalwinkels zwischen der Richtung auf den Polarstern und der auf einen andern Stern auch ein ganz bestimmter Moment der Sternzeit, und damit ein bestimmtes Azimut des Polarsterns. Der Polarstern ist aus dem Grunde gewählt, weil sein Azimut sogar bei grob gegebener Breitenlage des Ortes und bei grob ermitteltem Horizontalwinkel zwischen den Sternen mit genügender Genauigkeit erhalten wird.

Der Vorteil der Methode besteht hauptsächlich darin, daß die Kenntnis des Uhrstandes völlig entbehrlich wird und daß man, insbesondere unter Benützung eines Nomogramms, sehr rasch zu einem Näherungswert mit der Genauigkeit einer Bogenminute gelangt. Bei rechnerischer Reduktion wird man eine Genauigkeit von mehreren Bogensekunden erreichen.

* Professor Th. N. Krassovsky: „Bestimmung des Azimuts eines Bodenobjektes durch Messung des Horizontalwinkels zwischen der Polaris und einem Nebenstern“. Moskau, 1926.

Bei bekannter Breitenlage des Ortes könnten wir also bei gleichzeitigem Anzielen des Polarsternes R und des Nebensterne S durch entsprechende Horizontkreisablesung des Theodoliten das Azimut des Polarsterns aus dem gemessenen Winkel erhalten. Da aber ein gleichzeitiges Anvisieren zweier Sterne unmöglich ist, so muß eine Reduktion der Horizontkreisablesung des Nebensterne auf den Moment der Polarisbeobachtung ausgeführt werden, oder man hat die Beobachtungen entsprechend anzuordnen.

Es seien (Fig. 1):



Figur 1.

- a = die Rektaszension der Polaris R .
- δ = die Deklination der Polaris R .
- $\Delta = 90 - \delta$ = die Polardistanz.
- α_A = Rektaszension des Nebensterne S .
- δ_A = Deklination des Nebensterne S .
- φ = die Breite des Ortes.
- θ = die Sternzeit der Beobachtung.
- t = der Stundenwinkel der Polaris.
- t_A = der Stundenwinkel des Nebensterne.
- a = Azimut der Polaris.
- A = Azimut des Nebensterne (das Azimut wird über Nord nach Ost gerechnet).
- Q = der Horizontalwinkel zwischen den Sternen, gemessen im Sinne des Uhrzeigers,

ausgehend von der Richtung nach dem Polarstern.

P = der Weltpol.

q = Parallaxischer Winkel an dem Nebensterne S , ausgehend von der Zenitrichtung Z im Sinne des Uhrzeigers bis zur Richtung auf den Weltpol.

Der Nebensterne hat eine Schnelligkeit in der Azimutänderung von nicht unter 5—9' in der Zeitminute. Es ist als Regel angenommen, den Hilfsstern bei einer Zenitdistanz von nicht unter 30° zu beobachten.

Zur Azimutbestimmung haben wir die Gleichungen

$$A = a + Q \quad (1)$$

$$\frac{\cos \varphi}{\cos \delta_A} = k; \sin q = k \cdot \sin A \quad (2)$$

$$\frac{\sin \frac{1}{2} (\delta_A + \varphi)}{\cos \frac{1}{2} (\delta_A - \varphi)} = k_1; \operatorname{ctg} \frac{t_A}{2} = -K_1 \cdot \operatorname{tg} \frac{A + q}{2} \quad (3)$$

$$\theta = \alpha_A + t_A = a + t \quad (4)$$

$$\operatorname{tg} a = \frac{\Delta' \sin t \cdot \sin l'}{\sin (90 - \varphi - \Delta' \cos t)} \quad (5)$$

Diese Gleichungen sind nach dem Verfahren der sukzessiven Näherung aufzulösen. Wenn wir das Azimut des Polarsterns mit einem Maximalfehler von ungefähr 0'.3 erhalten wollen, so genügen dafür zwei Näherungen. In der ersten Näherung haben wir im Azimut $a = 1^\circ$ für $\varphi = 55^\circ$ einen Maximalfehler von $\pm 1^\circ$; mit demselben Fehler erhalten wir aus Gleichung (1) den Wert A ; aus der Gleichung (3) ermitteln wir den Wert des Stundenwinkels t_A ; hierauf erhalten wir aus der Gleichung (4) θ und t mit einem Maximalfehler von $60 : 9 = 6,7$ Zeitminuten. Da die größte Bewegung des Polarsterns im Azimut 0,6 Bogenminuten in der Zeitminute beträgt, so erhalten wir offenbar aus der ersten Näherung von (5) das Azimut des Polarsterns mit einem Maximalfehler von 4'. Wenn wir uns bei der zweiten Näherung des zuletzt ermittelten Azimuts des Polarsterns bedienen, so erhalten wir das A mit einem Fehler, der nun kleiner als 4' sein wird. t_A , θ und t werden jetzt nur mit einem Fehler von etwa einer halben Zeitminute behaftet sein, das Azimut des Polarsterns aber wird nun einen Fehler unter 0'.3 haben. Die Breitenbestimmung des Ortes kann grob bis 5' erfolgen.

Beobachtungsprogramm.

Es ist am besten, die Beobachtungen laut folgendem Programm auszuführen:

Halbsatz bei Kreis rechts:

1. Beobachtung des Bodenobjektes mit Ablesung des Horizontalkreises.
2. Beobachtung des Polarsterns. Ablesung des Horizontalkreises und der Taschenuhr.
3. Beobachtung des Nebensterns mit denselben Ablesungen.
4. Zweite Beobachtung des Polarsterns.
5. Zweite Beobachtung des Bodenobjektes.

Der zweite Halbsatz wird bei Kreis links erledigt. Als Hilfssterne werden entweder die Sterne der Ursae majoris oder die der Cassiopeiae genommen.

Die Azimutbestimmung der Stadt Machatsch-Kala wurde bei Vermessungen nach 4 Hilfssternen (ξ , β , γ , η) mit einem vollen Satze auf jeden Stern durchgeführt, da ein solches Verfahren für Beobachtungen am günstigsten erscheint. Den Polarstern beobachtet man zweimal während des Halbsatzes, nämlich in Momenten, die gleich weit vom Beobachtungsmomente des Nebensterns abstehen, was die Möglichkeit gibt, die auf den Nebenstern gemessene Richtung auf das Beobachtungsmoment des Polarsterns nicht reduzieren zu müssen. Beim Visieren muß der Vertikalfaden des Fernrohres auf die Sterne genau eingestellt werden. Das Einstellen des Polarsterns war mit besonderer Sorgfalt ausgeführt. Bei Beobachtung des Bodenobjektes änderte sich die für die Sternbeobachtung genommene Fokussierung des Fernrohres nicht.

Das Beobachtungs- und Feldmaterial ist in der Tabelle (1) enthalten.

(Siehe Tabelle 1.)

In den Tabellen 2, 3, 4 und 5 werden ausführliche Berechnungen für 4 Sterne gegeben.

(Siehe Tabellen 2, 3, 4 und 5.)

Die Bearbeitung der Beobachtungen besteht in der Berechnung der Mittelwerte aus Ablesungen und aus Wertbestimmungen des Winkels zwischen den Richtungen des Polarsterns und eines Nebensterne für einen jeden Halbsatz. Bei einer über 3 Minuten großen Unsymmetrie der Beobachtungszeiten wird die für die Ablesung des Nebensterne benötigte Verbesserung aus der Formel

$$(\Delta a)' = \frac{15 \cdot \cos \delta_A \cdot \cos q \cdot \sin q}{\cos \varphi \cdot \sin t_A} (T_R - T_L)$$

erhalten, wo T_L — die Beobachtungszeit des Nebensterne T_R — das mittlere Moment der Beobachtung der Polaris im entsprechenden halben Satze bedeuten. Die erforderlichen Daten: φ , α , δ , α_A , δ_A werden ebenfalls in das Formular eingetragen. Der Breitenwert wird aus der Karte bis auf 4—5 Minuten genau und die Koordinaten der Sterne aus dem Jahrbuch bis auf eine Zeitminute genau entnommen.

Das Azimut wird folgenderweise berechnet:

1. In erster Näherung wird das Azimut des Polarsterns gleich 1° genommen. Für das Azimut des Nebensterne wird somit der Wert

$$A_0 = Q + 1^\circ$$

erhalten.

2. Unter Berücksichtigung, daß bei einem bestimmten Nebensterne die Werte φ und δ auf einer bestimmten Station konstant sind, werden die in den Formeln (2) und (3) enthaltenen Werte k und k_1 berechnet.
3. Es wird der parallaktische Winkel q berechnet.
4. Es wird der Stundenwinkel (t_A) des Nebensterne berechnet.
5. Mit Hilfe des Stundenwinkels und der Rektaszension des Nebensterne wird die Sternzeit (θ) und darauf der Stundenwinkel (t) des Polarsterns berechnet.
6. Berechnung $\xi = 90^\circ - \varphi - \Delta' \cos t$
7. Berechnung des Azimuts des Polarsterns $\text{tg } a_0 = - \frac{\Delta' \sin l' \sin t}{\sin \xi}$
8. Mit dem Werte a_0 wird in derselben Reihenfolge die zweite Näherung des Azimuts des Polarsterns berechnet; dieser Wert wird als endgültig beibehalten.

Darauf wird für jeden halben Satz die der Nordrichtung entsprechende Ablesung N des Horizontalkreises berechnet.

$$N_R = R - a_r$$

$$N_L = (L \pm 180) - a_l$$

wo R und L die mittlere Ablesung des Horizontalkreises bei Beobachtung des Polarsterns, a_r und a_l die berechneten Azimute des Polarsterns bei Kreis rechts und Kreis links bedeuten.

Tabelle 1 ϵ (Ursae majoris).Präzisions-Theodolit H. Wild Nr. 120
Grundlinie: $\lg b = 3.4013771$.

Kreis links

Kreis rechts

Punkt	Ablesung		Winkelgröße	Endgültiger Winkelwert	Zeit	Ablesung		Winkelgröße	Endgültiger Winkelwert	Zeit
Erdgegenstand	0°00'42".64 42.60	0°01'25".24	292°04'10".16	292°03'47".67		180°00'40".89 40.94	180°01'21".83	292°01'21".53	292°01'41".79	
Polaris	67°56'37".49 37.59	67°57'15".08	314°36'27".33	314°36'00".22	8h 00m	248°00'00".18 00.12	248°00'00".30	315°37'49".19	315°38'05".00	8h 21m
Hilfsstern	22°32'51".17 51.24	22°33'42".41	314°35'33".10		8h 03m	203°36'54".77 54.72	203°37'49".49	315°38'20".80		8h 18m
Polaris	67°58'04".70 04.61	67°58'09".31	292°03'25".18		8h 06m	247°58'44".40 44.29	247°59'28".69	292°02'02".05		8h 15m
Erdgegenstand	0°00'47".20 47.29	0°01'34".49				180°00'45".41 45.33	180°01'30".74			

Tabelle 1 (Fortsetzung) γ (Ursae majoris).

Erdgegenstand	60°00'42".63 42.74	60°01'25".37	291°58'56".51	291°59'01".28		240°00'41".00 40.90	240°01'21".90	291°58'40".77	291°58'49".63	
Polaris	128°02'14".37 14.49	128°02'28".86	323°24'55".28	323°24'49".64	9h 01m	308°02'20".56 20.57	308°02'41".13	324°27'38".21	324°27'44".10	9h 15m
Hilfsstern	91°26'42".03 42.11	91°27'24".14	323°24'43".99		9h 03m	272°30'09".64 09.70	272°30'19".34	324°27'49".99		9h 13m
Polaris	128°82'20".10 20.05	128°02'40".15	291°59'06".05		9h 05m	308°02'14".71 14.64	308°02'29".35	291°58'58".49		9h 11m
Erdgegenstand	60°00'53".13 53.07	60°01'46".20				240°00'43".99 43.85	240°01'27".84			

Tabelle 1 (Fortsetzung) η Ursae majoris.

Kreis rechts

Kreis links

Punkt	Ableitung	Winkelgröße	Endgültiger Winkelwert	Zeit	Ableitung	Winkelgröße	Endgültiger Winkelwert	Zeit
Erdegegenstand	30°00'48".76 48.70	30°01'37".46	292°00'55".60	292°00'41".40	210°00'42".10 42.10	210°01'24".28	291°59'44".57	291°59'53".04
Polaris	98°00'20".90 20.90	98°00'41".86	305°09'37".09	305°09'25".97	278°00'49".88 49.88	278°01'39".71	305°45'35".33	305°45'41".32
Hilfsstern	43°10'09".55 09.40	43°10'18".95	305°09'14".85		223°46'37".55 37.49	223°47'15".04	305°45'47".31	8h 44m
Polaris	98°00'32".05 32.05	98°01'04".10	292°00'27".19		278°00'43".90 43.83	278°01'27".73	292°00'03".12	8h 42m
Erdegegenstand	30°00'45".70 45.59	30°01'31".29			210°00'45".45 45.40	210°01'30".85		

Tabelle 1 (Fortsetzung) α Ursae majoris.

Erdegegenstand	90°00'46".40 46.31	90°01'32".71	291°58'52".89	291°59'04".37	270°00'41".30 41.41	270°01'22".71	292°00'06".79	291°59'53".57
Polaris	158°02'19".88 19.94	158°02'39".82	337°11'46".50	337°11'57".87	338°00'38".00 37.92	338°01'15".92	338°24'48".57	338°25'10".58
Hilfsstern	135°14'13".13 13.19	135°14'26".32	337°12'09".23		316°26'02".30 02.19	316°26'04".49	338°25'32".58	9h 40m
Polaris	158°02'08".49 08.60	158°02'17".09	291°59'15".86		338°00'45".97 45.94	338°01'31".91	291°59'40".36	9h 38m
Erdegegenstand	90°00'46".43 46.52	90°01'32".95			270°00'36".10 36.17	270°01'12".27		

Tabelle 2 (ε Ursae majoris).

	Kreis links		Kreis rechts		
	1. Annäherung	2. Annäherung			
Q	314°36'	314°36'	315°38'	$\varphi = 42^{\circ}59'$ $\alpha = 24^{\circ}24'$ $\delta = +88^{\circ}56'$ $\alpha A = 192^{\circ}44'$ $\delta A = +56^{\circ}20'$ $\Delta' = 64'$	
a	1°27'	1°23'	1°23'		
A	316° 3'	315°59'	317° 1'		
$\lg K$	0.12046	0.12046	0.12046		
$\lg \sin A$	9.84138 _n	9.84190 _n	9.83365 _n		
$\lg \sin q$	9.96184 _n	9.96236 _n	9.95411 _n		
q	293°40'	293°31'	295°53'		$\lg \cos \varphi$ 9.86425 $c \lg \cos \delta A$ 0.25621 <hr/> $\lg K$ 0.12046
$A + q$	609°43'	609°30'	612°54'		
$\frac{1}{2}(A + q)$	304°52'	304°45'	306°27'		
$\lg K_1$	9.88507	9.88507	9.88507		$\frac{1}{2}(\delta A + \varphi)$ 49°40' $\frac{1}{2}(\delta A - \varphi)$ 6°40'
$\lg \operatorname{tg} \frac{A+q}{2}$	0.15693 _n	0.15881 _n	0.13158 _n		
$\lg \operatorname{ctg} \frac{tA}{2}$	0.04200	0.04388	0.01665	$\lg \sin \frac{1}{2}(\delta A + \varphi)$ 9.88212 $c \lg \cos \frac{1}{2}(\delta A - \varphi)$ 0.00295 <hr/> $\lg K_1$ 9.88507	
$\frac{tA}{2}$	42°14'	42° 7'	43°54'		
tA	84°28'	84°14'	87°48'		
αA	192°44'	192°44'	192°44'		
θ	277°12'	276°58'	280°32'		
a	24°24'	24°24'	24°24'		
t	252°48'	252°34'	256° 8'		
$\lg \Delta' \cos t$	1.27704 _n	1.28272 _n	1.18578 _n		
$\lg \cos t$	9.47086 _n	9.47654 _n	9.37960 _n		
$\lg \Delta'$	1.80618	1.80618	1.80618		
$\lg \sin t$	9.98013 _n	9.97958 _n	9.98715 _n		
$\lg \sin t'$	6.46373	6.46373	6.46373		
$\lg \Delta' \sin t \sin t'$	8.25004 _n	8.24949 _n	8.25706 _n		
$c \lg \sin \xi$	0.13353	0.13353	0.13400		
$\lg \operatorname{tg} a$	8.38357	8.38302	8.39106		
$99 - \varphi$	47° 1'	47° 1'	47° 1'		
$\Delta' \cos t$	—19'	—19'	—15'		
ξ	47°20'	47°20'	47°16'		
a	1°23'	1°23'.0	1°24'.6		
$R_1 L \pm 180^\circ$		67°57'.7	67°59'.4		
$NR_1 L$		66°34'.7	66°34'.8		
$MR_1 ML \pm 180^\circ$		0° 1'.5	0°1'.4		
$SR_1 L$		293°26'.8	293°26'.6		

$S = 293^{\circ}26'.7$

Tabelle 3 (γ Ursae majoris).

	Kreis links		Kreis rechts	
	1. Annäherung	2. Annäherung		
Q	323°25'	323°25'	324°28'	$\varphi = 42^{\circ}59'$ $a = 24^{\circ}24'$ $\delta = +88^{\circ}56'$ $aA = 177^{\circ}32'$ $\delta A = +54^{\circ}5'$ $\Delta' = 64'$ γ Ursae majoris
a	1° 0'	1°27'	1°27'	
A	324°25'	324°52'	325°55'	
$\lg K$	0.09590	0.09590	0.09590	
$\lg \sin A$	9.76484 _n	9.76003 _n	9.74850 _n	
$\lg \sin q$	9.86074 _n	9.85593 _n	9.84440 _n	
q	313°28'	314° 8'	315°40'	
$A + q$	637°53'	639° 0'	641°35'	
$\frac{1}{2}(A + q)$	318°56'	319°30'	320°48'	
$\lg K_1$	9.87672	9.87672	9.87672	
$\lg \operatorname{tg} \frac{A+q}{2}$	9.94018 _n	9.93150 _n	9.91147 _n	$\lg \cos \varphi$ 9.86425 $c \lg \cos \delta A$ 0.23165 <hr/> $\lg K$ 0.09590 $\frac{1}{2}(\delta A + \varphi)$ 48°32' $\frac{1}{2}(\delta A - \varphi)$ 5°33'
$\lg \operatorname{ctg} \frac{tA}{2}$	9.81690	9.80822	9.78819 _n	$\lg \sin \frac{1}{2}(\delta A + \varphi)$ 9.87468 $c \lg \cos \frac{1}{2}(\delta A - \varphi)$ 0.00204 <hr/> $\lg K_1$ 9.87672
$\frac{tA}{2}$	56°44'	57°16'	58°27'	
tA	113°28'	114°32'	116°54'	
aA	177°32'	177°32'	177°32'	
Θ	291° 0'	292° 4'	294°26'	
a	24°24'	24°24'	24°24'	
t	266°36'	267°40'	270° 2'	
$\lg \Delta' \cos t$	9.57928 _n	0.41591 _n	8.57094	
$\lg \cos t$	8.77310 _n	8.60973 _n	6.76476	
$\lg \Delta'$	1.80618	1.80618	1.80618	
$\lg \sin t$	9.99923 _n	9.99964 _n	0.00000 _n	
$\lg \sin l'$	6.46373	6.46373	6.46373	
$\lg \Delta' \sin t \sin l'$	8.26914 _n	8.26955 _n	8.26991 _n	
$c \lg \sin \xi$	0.13528	0.13540	0.13575	
$\lg \operatorname{tg} a$	8.40442	8.40495	8.40566	
$90 - \varphi$	47° 1'	47° 1'	47° 1'	
$\Delta' \cos t$	— 4'	— 3'	0'	
ξ	47° 5'	47° 4'	47° 1'	
a	1°27'	1°27'.3	1°27'.5	
$R_1 L \pm 180^\circ$		128°2'.6	128°2'.6	
$NR_1 L$		126°35'.3	126°35'.1	
$MR_1 ML \pm 180^\circ$		60°1'.6	60°1'.4	
$SR_1 L$		293°26'.3	293°26'.3	

$S = 293^{\circ}26'.3$

Tabelle 4 (η Ursae majoris).

	Kreis links		Kreis rechts	
	1. Annäherung	2. Annäherung		
Q	305° 9'	305° 9'	305°46'	$\varphi = 42^{\circ}59'$ $a = 24^{\circ}24'$ $\delta = +88^{\circ}56'$ $aA = 206^{\circ}12'$ $\delta A = +49^{\circ}29'$ $\Delta' = 64'$
a	1°27'	1°26'	1°26'	
A	306°36'	306°35'	307°12'	
$\lg K$	0.05156	0.05156	0.05156	
$\lg \sin A$	9.90462 _n	9.90471 _n	9.90120 _n	
$\lg \sin q$	9.95618 _n	9.95627 _n	9.95276 _n	
q	295°18'	295°17'	296°14'	
$A + q$	601°54'	601°52'	603°26'	
$\frac{1}{2}(A + q)$	300°57'	300°56'	301°43'	
$\lg K_1$	9.85934	9.85934	9.85934	
$\lg \operatorname{tg} \frac{A+q}{2}$	0.22209 _n	0.22237 _n	0.20900 _n	$\frac{1}{2}(\delta A + \varphi)$ 46°14' $\frac{1}{2}(\delta L - \varphi)$ 3°15'
$\lg \operatorname{ctg} \frac{tA}{2}$	0.08143	0.08171	0.06834	$\lg \sin \frac{1}{2}(\delta A + \varphi)$ 9.85864 $c \lg \cos \frac{1}{2}(\delta A - \varphi)$ 0.00070 <hr/> $\lg K_1$ 9.85934
$\frac{tA}{2}$	39°40'	39°38'	40°31'	
tA	79°20'	79°16'	81° 2'	
aA	206°12'	206°12'	206°12'	
θ	285°32'	285°28'	287°14'	
a	24°24'	24°24'	24°24'	
t	261° 8'	261° 4'	262°50'	
$\lg \Delta' \cos t$	0.99408 _n	0.99731 _n	0.90224 _n	
$\lg \cos t$	9.18790 _n	9.19113 _n	9.09606 _n	
$\lg \Delta'$	1.80618	1.80618	1.80618	
$\lg \sin t$	9.99478 _n	9.99470 _n	9.99659 _n	
$\lg \sin l'$	6.46373	6.46373	6.46373	
$\lg \Delta' \sin t \sin l'$	8.26469 _n	8.26461 _n	8.26650 _n	
$c \lg \sin \xi$	0.13458	0.13458	0.13482	
$\lg \operatorname{tg} a$	8.39927	8.39919	8.40132	
$90 - \varphi$	47° 1'	47° 1'	47° 1'	
$\Delta' \cos t$	— 10'	— 10'	— 8'	
ξ	47°11'	47°11'	47° 9'	
a	1°26'	1°26'.2	1°26'.6	
$R_1 L \pm 180^\circ$		98°0'.9	98°1''.6	
$NR_1 L$		96°34'.7	96°35'.0	
$MR_1 ML \pm 180^\circ$		30°1'.6	30°1'.5	
$SR_1 L$		293°26'.9	293°26'.5	

$S = 293^{\circ}26'.7.$

Tabelle 5 (α Ursae majoris).

	Kreis links		Kreis rechts	
	1. Annäherung	2. Annäherung		
Q	337°12'		380°25'	$\varphi = 42^{\circ}49'$ $a = 24^{\circ}24'$ $\delta = +88^{\circ}56'$ $\alpha A = 164^{\circ}52'$ $\delta A = +62^{\circ}8'$ $\Delta' = 64'$
a	1°27'		1°27'	
A	338°39'		339°52'	
$\lg K$	0.19455		0.19455	
$\lg \sin A$	9.56118 _n		9.53682 _n	
$\lg \sin q$	9.75573 _n		9.73137 _n	
q	325°16'		327°24'	
$A + q$	663°55'		667°16'	
$\frac{1}{2}(A + q)$	331°58'		333°38'	
$\lg K_1$	9.90593		9.90593	
$\lg \operatorname{tg} \frac{A+q}{2}$	9.72628 _n		9.69520 _n	$\lg \cos \varphi$ 9.86425 $c \lg \cos \delta A$ 0.33030 <hr/> $\lg K$ 0.19455
$\lg \operatorname{ctg} \frac{tA}{2}$	9.63221		9.60113	$\frac{1}{2}(\delta A + \varphi)$ 52°34' $\frac{1}{2}(\delta A - \varphi)$ 9°34'
$\frac{tA}{2}$	66°49'		68°14'	$\lg \sin \frac{1}{2}(\delta A + \varphi)$ 9.89985 $c \lg \cos \frac{1}{2}(\delta A - \varphi)$ 0.00608 <hr/> $\lg K_1$ 9.90593
tA	133°38'		136°28'	
αA	164°52'		164°52'	
θ	298°30'		301°20'	
a	24°24'		24°24'	
t	274°6'		276°56'	
$\lg \Delta' \cos t$	0.66047		9.88794	
$\lg \cos t$	8.85429		9.08176	
$\lg \Delta'$	1.80618		1.80618	
$\lg \sin t$	9.99889 _n		9.99681 _n	
$\lg \sin l_1$	6.46373		6.46373	
$\lg \Delta' \sin t \sin l'$	8.26880 _n		8.26672 _n	
$c \lg \sin \xi$	0.13634		0.13670	
$\lg \operatorname{tg} a$	8.40514		8.40342	
$90 - \varphi$	47° 1'		47° 1'	
$\Delta' \cos t$	+5'		+8'	
ξ	46°56'		46°53'	
a	1°27'.1		1°27'.0	
$R_1 A \pm 180^{\circ}$	158°2'.5		158°1'.4	
$NR_1 L$	156°35'.1		156°34'.4	
$MR_1 ML \pm 180^{\circ}$	90°1'.5		90°1'.3	
$SR_1 L$	293°26'.4		293°25'.9	

$S = 293^{\circ}26'.2.$

Das Azimut S des Bodenobjektes wird nach der Formel:

$$S_R = M_R - N_R$$

$$S_L = (M_L \pm 180) - N_L$$

mit M_R und N_L als Kreisablesungen für Beobachtung des Bodenobjektes bei Kreis rechts und Kreis links berechnet.

Die Azimute des Bodenobjektes werden für jeden halben Satz berechnet. Zur Ausschaltung des aus der Differenz der Zenitdistanzen des Bodenobjektes des Polarsterns und des Nebensterns hervorgehenden Einflusses der Kollimation und der Kippachsenneigung werden die Mittelwerte aus den verschiedenen Halbsätzen genommen. (Siehe Tabelle 6.)

Tabelle 6.

Sätze	Azimute	δ	$\delta\delta$	
1	293°26'.7	+0.22	0.0484	$m = \pm \sqrt{\frac{0.2076}{4-1}} = \pm 0'.26$
2	26'.3	-0.18	0.0324	
3	26'.7	+0.22	0.0484	
4	26'.2	-0.28	0.0784	
Mittel	293°26'.48	-0.02	0.2076	$M = \pm 0'.13$

Statt der Berechnungen kann man sich der Tabellen bedienen, die nach den Argumenten des Horizontalwinkels zwischen dem Polarstern und dem Nebenstern für Breitenzonen von 40°—60° zusammengestellt sind.

Bei Gebrauch der Tabellen muß man kennen:

1. den Horizontalwinkel zwischen Polarstern und Nebenstern;
2. den Ort des Nebensterns (rechts oder links vom Polarstern).

Dem entsprechend wird jeder Stern zwei Tabellen haben.

Zur Vereinfachung der Aufgabe könnte der Inhalt der Rechentabelle durch ein Nomogramm dargestellt werden.

Als Unterlage für jedes Nomogramm dient ein Kreissektor, welcher durch Radienstrahlen in kleine Sektoren von je 1° zerteilt wird. Der große Sektor hat einen Winkel von 60° gemäß dem größten praktisch vorkommenden Wert des Winkels zwischen Polarstern und Nebenstern. Die Länge des Radius eines jeden Bogens drückt die Zahl der Minuten des Azimutes des Polarsterns aus. Die Zahlwerte dieser Azimute sind rechts und links angeschrieben. Auf dieser Grundlage sind Kurven des Azimutes des Polarsterns für $\varphi = 40^\circ$ go $\varphi = 60^\circ$ von 4° zu 4° eingezeichnet. Das Nomogramm zeigt sich als sehr vorteilhaft bei Berechnung der Azimute mit großen Horizontalwinkelwerten. Die genäherte Bestimmung des Azimutes nach Prof. Th. N. Krassovsky ergibt dessen Wert nur bis auf 0'.1 genau. Daher erweist es sich als vorteilhaft, bei Gebrauch der Wildschen Instrumente die Ablesungen

nur mit Schätzung auszuführen. Wir haben zu berücksichtigen, daß die Beobachter mit diesen Instrumenten zum ersten Male volle Ablesungen nach dem optischen Mikrometer machten. Sonst werden die Berechnungen und Messungen nur auf 1' genau ausgeführt.

Bei dem Wildschen Theodolit mit einem auf dem Okular aufgesetzten Prisma wird ein umgekehrtes Bild der Kreisbezeichnung und der Sekundenteilung erhalten, was nicht gerade bequem ist und bei wenig Erfahrung zu fehlerhaften Ablesungen führt. In letzter Zeit ist auf meine Anweisung hin von der Firma Wild ein Okularprisma konstruiert worden, welches direkte Bilder der Kreisteilung und der Skala ergibt. Dieses Prisma wurde mir für meine Arbeiten von Wild liebenswürdig zur Verfügung gestellt; ich habe damit Azimutbestimmungen nach Prof. Krassovsky gemacht, wobei die Ablesungen mit Schätzung ohne optisches Trommelmikrometer erledigt wurden. Außerdem wurde dasselbe Azimut mit demselben Instrument nach dem Polarstern ermittelt und die Breite nach zwei Sternen in entsprechenden Höhen (Verfahren von Pevzoff).

Zur Charakteristik der Ergebnisse werden nur die endgültigen Werte und deren mittlere Fehler mitgeteilt.

Wert des Azimuts nach der vorliegenden Methode von Prof. Krassovsky — $161^{\circ} 02'$, $2 \pm 0' 08$ (annäherndes Verfahren).

Wert des Azimuts nach entsprechenden Höhen $161^{\circ} 2' 24''.45 \pm 0''.25$ (genaue Ermittlung durch gewöhnliches astronomisches Verfahren).

Wert des Azimuts ermittelt mit gewöhnlichen astronomischen Instrumenten — $2''$ genau: $161^{\circ} 02' 24''.79$.

Bei den astronomischen Arbeiten ist ein Fehlen eines Sucherkreises bei dem Instrument zu berücksichtigen; der Höhenwinkel wird als Differenz der Ablesung in beiden Kreislagen, — nicht aber als halbe Differenz erhalten. Zuerst wurde der Fehler des Zenitorts (ΔZ) durch entsprechende Ablesungen a_1 und a_2 mit K_L und K_R bestimmt. Die Ablesungen a_2 und a_1 entsprechend α wären

$$a_2 = \frac{\alpha + 180^{\circ}}{2}$$

$$a_1 = \frac{180 - \alpha}{2}$$

da aber $z = 90^{\circ} - \alpha$, so wird

$$a_2 = \frac{270^{\circ} - z}{2} \quad \text{Kreis links}$$

und
$$a_1 = \frac{90^{\circ} + z}{2} \quad \text{Kreis rechts.}$$

Die Näherungswerte von a_2 und a_1 wurden aus präliminären Berechnungen der Zenitdistanzen bestimmt. Bei Beobachtung der Sterne wird zuerst die Libelle durch eine Trommeleinstellung des Mikrometers zum Einspielen gebracht (bis auf eine Bogensekunde). Sodann wird das Fernrohr auf entsprechende Gradablesung (genähert) ein-

gestellt und die Kreisstriche werden mittels der Feinschraube zur Koinzidenz gebracht.

Schluß.

Dank bequemer und genauer Arbeitsweise der Wildschen Instrumente sind letztere mit Erfolg bei astronomischen Bestimmungen auf Staat- und Stadtriangulationen zu gebrauchen, besonders bei Verwendung eines Zenitprismas neuester Konstruktion.

6. August 1931.

Fédération Internationale des Géomètres (F. I. G.).

Séance du Comité permanent (C. P.)

Vendredi et samedi, 17 et 18 juillet à Genève

(Salle des conférences du Département de l'Instruction publique, Hôtel de Ville).

(Fin.)

Commission II. (Texte français des décisions, voir pages 213 et 214 du compte rendu.)

Les chiffres 1 à 3 et 5 à 9 ont le caractère d'information, il en est de même du chiffre 4 dont l'étude suppose que les tolérances en usage dans les différents pays soient préalablement connues. Le Secrétaire général est prié de demander aux différentes associations nationales ou gouvernements représentés au congrès de Zurich de bien vouloir lui adresser les prescriptions relatives aux tolérances actuellement en usage et de faire la même demande à l'Union pour géodésie et géophysique.

Chiffre 10. M. *Danger* (France) recommande au Comité Permanent de veiller à la réalisation de ce vœu et rappelle en même temps que M. *Kubler* (Suisse) a déjà édité en 1921 une brochure s'occupant de cette question. Le Secrétaire général se mettra en rapport avec l'Association internationale des sports athlétiques.

Commission III a. M. le Dr. L. *Hegg* (Suisse) rapporte:

Chiffres 1 à 4, les propositions de la Commission III a ont le caractère d'information et ne nécessitent pas de prise de décision.

Le chiffre 4 est à étudier conjointement avec les propositions de la Commission IV. La proposition contenue au chiffre 5 de la création d'un organisme d'information et d'orientation scientifique du cadastre a cependant une importance considérable. M. le Dr. *Hegg* renvoie aux discussions de la Commission III a et en outre à son mémoire du 18 juin 1931 au Comité Permanent.

Après une discussion approfondie à laquelle prirent part MM. *Fanti* (Italie), *Jarre* (France), *Roupcinsky* (Belgique), *Danger* (France), *Delessert* (Suisse), Président *Bertschmann* (Suisse) et le Secrétaire général, la désignation d'une Commission d'enquête proposée par M. *Fanti* est décidée. Celle-ci doit être formée des représentants des Associations nationales de France, Italie, Pologne, Belgique, Tschécoslovaquie et Suisse. Cette Commission d'enquête aura s'occuper des tâches suivantes:

- a) Rassemblement, classement et examen des matériaux nécessaires à l'étude de ces questions.
- b) Prise de contact avec l'Institut international de Coopération intellectuelle à Paris.
- c) Etude et élaboration d'un programme de travail.

Cette Commission d'enquête doit préparer un projet à soumettre au Comité Permanent avant sa séance de Varsovie pour la suite à donner à la proposition de la Commission III a, afin que le Comité Per-